# • 中药工业 •

# 三种达玛烷型皂苷的生物药剂学分类及吸收机制研究合

苏元元<sup>1</sup>, 付字<sup>2</sup>, 李楠楠<sup>2</sup>, 高尧春<sup>2</sup>, 刘海波<sup>2</sup>, 董政起<sup>1,2\*</sup> (1. 延边大学 药学院, 吉林 延吉 133002; 2. 中国医学科学院 药用植物研究所, 北京 100193)

[摘要] 目的:探究人参皂苷  $Rb_1$ 、人参皂苷  $Rg_1$ 、三七皂苷  $R_1$ 的生物药剂学分类(BCS)及吸收机制。方法:首先运用 StarDrop 软件预测三种皂苷的溶解特性及其吸收是否受 P-糖蛋白(P-gp)调控,进一步通过实验测定三种皂苷的溶解度,并以 Caco-2 细胞单层为模型进行双向转运实验,通过研究时间、给药浓度、P-gp 抑制剂对模型药物转运的影响,确定其 BCS 分类及初步吸收机制。结果:人参皂苷  $Rb_1$ 、 $Rg_1$ 为高溶解性药物,三七皂苷  $R_1$ 为低溶解性药物。StarDrop 模型预测溶解性与 P-gp 结果和实际结果存在一定差异。三种药物的表观渗透系数( $P_{app}$ )均小于14.96×10<sup>-6</sup>cm·s<sup>-1</sup>,为低渗透性药物,在 Caco-2 细胞单层的转运呈时间和浓度依赖性, $P_{app(BL-AP)/(AP-BL)}$ 均小于1.5。维拉帕米能降低人参皂苷  $Rg_1$ 和三七皂苷  $R_1$ 的转运速率,对人参皂苷  $Rb_1$ 无影响。结论:人参皂苷  $Rb_1$ 和  $Rg_1$ 为 BCS III类药物,三七皂苷  $R_1$ 的转运有抑制作用。

[关键词] 人参皂苷 Rb<sub>1</sub>; 人参皂苷 Rg<sub>1</sub>; 三七皂苷 R<sub>1</sub>; 生物药剂学分类; Caco-2 细胞单层模型; 表观渗透系数; StarDrop

#### Biopharmaceutics Classification and Absorption Mechanism of Three Kinds of Dammarane Saponins

SU Yuan-yuan<sup>1</sup>, FU Yu<sup>2</sup>, LI Nan-nan<sup>2</sup>, GAO Yao-chun<sup>2</sup>, LIU Hai-bo<sup>2</sup>, DONG Zheng-qi<sup>1,2\*</sup>
(1. College of Pharmacy, Yanbian University, Yanji 133002, China;

2. Institute of Medicinal Plant Development, Chinese Academy of Medical Sciences, Beijing 100193, China)

[Abstract] Objective: To study the BCS classification and absorption mechanism of ginsenoside Rb<sub>1</sub>, ginsenoside Rg<sub>1</sub> and notoginsenoside R<sub>1</sub>. Methods: The StarDrop software was used to predict the solubility of three saponins and whether their absorption was regulated by P-gp. The solubility of three saponins was further determined by experiments. The Caco-2 monolayer membrane was used as a model for the bidirectional transport experiments. By studying the effect of time, concentration and P-gp inhibitor on the transport of the model drugs, the BCS classification and preliminary absorption mechanism of the model drugs were determined. Results: Ginsenoside Rb<sub>1</sub>, ginsenoside Rg<sub>1</sub> were highly soluble drugs, and notoginsenoside R<sub>1</sub> was a low solubility drug. The solubility and P-gp results predicted by the StarDrop model were somewhat different from the actual result. The apparent permeability coefficients ( $P_{\rm app}$ ) of the three drugs were less than 14.96 × 10<sup>-6</sup> cm·s<sup>-1</sup>, indicating that they were low permeability drugs. The transport of compounds in Caco-2 was in a time and concentration dependent manner,  $P_{\rm app(BL-AP)/(AP-BL)}$  were less than 1.5. Verapamil could reduce the transport rate of ginsenoside Rg<sub>1</sub> and notoginsenoside R<sub>1</sub>, and has no effect on ginsenoside Rb<sub>1</sub>. Conclusion: Ginsenoside Rb<sub>1</sub> and ginsenoside Rg<sub>1</sub> are BCS III drugs, and notoginsenoside R<sub>1</sub> is a BCS IV drug. The three drugs are mainly passively transported, and the transport is not regulated by P-gp, and Verapamil inhibited the transport of ginsenoside Rg<sub>1</sub> and notoginsenoside R<sub>1</sub>.

[Keywords] Ginsenoside  $Rb_1$ ; ginsenoside  $Rg_1$ ; notoginsenoside  $R_1$ ; biopharmaceutics classification; Caco-2 cell monolayer model; apparent permeability coefficients; StarDrop

doi:10.13313/j.issn.1673-4890.20180322005

<sup>△[</sup>基金项目] "重大新药创制"国家科技重大专项(2015ZX09501005);中国医学科学院医学与健康科技创新工程项目 (2016-12M-1-012)

<sup>\*[</sup>通信作者] 董政起,副研究员,研究方向:中药新剂型新技术及新药研发; Tel: (010)57833253, E-mail: zqdong@implad. ac. cn

达玛烷型皂苷是人参、三七、绞股蓝等中药材的主要药效成分<sup>[1]</sup>。研究表明,达玛烷型皂苷具有抗肿瘤、改善心肌缺血、免疫调节、降血糖、抗休克、保肝、镇静安神等作用<sup>[2-3]</sup>,具有广阔的应用前景。但是,从天然药物中提取的达玛烷型皂苷大多口服生物利用度低,严重影响了其充分利用<sup>[4]</sup>。溶解性和渗透性是中药口服药物成药性的核心。因此,探究此类药物的生物药剂学分类(BCS)及转运机制,尽早地发现和解决溶解度与渗透性问题,提高其成药性显得尤为重要。

实验参照 FDA 制定的 BCS 评价指南<sup>[5]</sup>及《中华人民共和国药典》2015 版凡例中溶解度测定方法<sup>[6]</sup>,测定不同 pH 下药物的溶解度。通过建立Caco-2 细胞单层模型<sup>[7]</sup>,运用较为简单、快速、低成本的体外渗透性试验,评价药物的渗透性并研究

其初步的吸收机制。为探究药物的吸收转运与极性的关系<sup>[8]</sup>,实验选择药用价值相对较高的人参皂苷  $Rb_1$ 、人参皂苷  $Rg_1$ 、三七皂苷  $R_1$ 为模型药物。其中达玛烷为母核,人参皂苷  $Rg_1$ 含 2 个糖基、三七皂苷  $R_1$ 含 3 个糖基、人参皂苷  $Rb_1$ 含 4 个糖基,(结构见图 1)。对其进行 BCS 分类研究,为中药新药和剂型的设计提供理论依据。

同时,由于中药单体普遍存在提取率低、成本较高的特点,本实验采用 StarDrop 软件预测模型药物在水中的溶解特性,并预测药物的吸收是否受 P-糖蛋白(P-gp)外排作用影响,与药物实际溶解性及转运实验结果相比较,探究 StarDrop 模型预测结果的可行性,为其他中药单体性质判断提供一种简单、有效的方法。

图 1 三种达玛烷型皂苷的结构

## 1 材料

## 1.1 仪器

INC108 型 CO<sub>2</sub>培养箱(德国 MEMMERT 公司); SCB-1220 型超净台(北京东联哈尔仪器有限公司); Millcell-ERS 型电阻仪(美国 Millipore 公司); Spectra max 190 型酶标仪(美国 MD 公司); Agilent-1260 型 高效液相色谱仪(美国 Agilent 公司)。

## 1.2 细胞

Caco-2 细胞(北京协和医学院基础医学研究所细胞中心)。

#### 1.3 药品与试剂

人参皂苷  $Rb_1$  (纯度 98.58%, 批号 MUST-17060106)、人参皂苷  $Rg_1$  (纯度 99.70%, 批号 MUST-17021414)、三七皂苷  $R_1$  (纯度 98.67%, 批号 MUST-16112110),均购于成都曼斯特生物科技有限公司;胎牛血清、非必需氨基酸、双抗、0.25% 胰酶(Gibco 公司);MEM 培养基(Hyclone Thermo 公司);二甲基亚砜(Sigma 公司);磷酸缓冲液(PBS)、HANK'S(Solarbio 公司);MTT(Amresco 公司);12 孔 Transwell TM 培养板(1.12  $cm^2$ , 0.4  $\mu$ m, Corning 公司);96 孔细胞培养板、T-25 细胞培养瓶(Corning 公司);甲醇、乙腈(MREDA 公司)。

## 2 方法

### 2.1 StarDrop 软件预测溶解度

实验运用 StarDrop 软件中 ADME QSAR 模型, 将受试化合物结构的 InChI 数据录入, 得出化合物在水中的溶解度及是否受 P-gp 调控。

#### 2.2 溶解性实验

2. 1. 1 溶解性测定 对于单体化合物,美国 FDA 工业指导原则指出:在 37 ℃下,pH 在 1 ~ 7. 5 范围内,剂量/溶解度比值(D: S ratio)小于 250 mL 的药物为高溶解性药物,即  $D_0 \le 1^{[5]}$ 。本实验根据人体药物吸收部位的 pH 值及《中华人民共和国药典》2015 年版中溶解性的测定方法选取 pH 1. 2、pH 4. 0、pH 6. 8、水(pH5. 8)四种环境为溶解介质,测定药物在 37 ℃下的溶解性。精密称取化合物过量于离心管中,每个药品各称量四份,分别加入水(pH 5. 8)、pH 6. 8 缓冲液、pH 4. 0 缓冲液、pH 1. 2 缓冲液2000  $\mu$ L,置于 37 ℃摇床震摇 3 h,30 000  $\mathbf{r} \cdot \mathbf{min}^{-1}$ 离心25  $\mathbf{min}$ ,取上清液 5  $\mathbf{\mu}$ L,适当稀释后过 0. 22  $\mathbf{\mu}$ m 滤膜,进 HPLC 测药物浓度,重复三次,按下式计算溶解度及  $\mathbf{D}_0$ 值。

$$D_0 = (M_0/V_0)/Cs \tag{1}$$

其中 V<sub>o</sub>为 250 mL, Cs 为溶解度(mg·mL<sup>-1</sup>), Mo 为人的最大给药剂量(mg)。

2. 1. 2 HPLC 检测 色谱条件为 Agilent 5 TC  $C_{18}$ 色谱柱(4.6 mm×250 mm, 5  $\mu$ m)和 SEP  $C_{18}$ 保护柱(8.0 mm×100 mm);进样量 20  $\mu$ L,流速 1.0 mL·min<sup>-1</sup>,柱温 30 ℃。流动相:人参皂苷  $Rb_1$  为乙腈-水(35:65),人参皂苷  $Rg_1$ 、三七皂苷  $R_1$ 均为乙腈-水(23:77)。检测波长:均为203 nm。标准曲线、日内精密度、日间精密度、回收率均符合定量检测求。

#### 2.3 渗透性实验

2. 3. 1 Caco-2 细胞的培养 将 Caco-2 细胞复苏后培养于 37  $^{\circ}$ C、5% CO<sub>2</sub>、90% 湿度的培养箱中。所用培养基为含胎牛血清 10%、青霉素-链霉素双抗 1%、谷氨酸和非必需氨基酸 1%的 MEM 培养液。隔天换液,培养 4~6 d 时细胞长至 80%~90%,然后进行传代。所用细胞在 20~50 代之间<sup>[9]</sup>。

2. 3. 2 药物的细胞毒性实验 实验采用 MTT 法测定 药物在 Caco-2 细胞中的毒性。将  $1 \times 10^5$  个·  $mL^{-1}$  的 细胞悬液接种于 96 孔培养板,每孔 100  $\mu$ L,培养板 边缘填充无菌 PBS 各 100  $\mu$ L。置于 37  $^{\circ}$ C、5% CO<sub>2</sub>、

90%湿度的培养箱中培养 24 h。吸弃培养液,加不同浓度受试药物 100  $\mu$ L(不含胎牛血清培养基配制),其中人参皂苷  $R_{\rm b}$ , 人参皂苷  $R_{\rm g}$ , 三七皂苷  $R_{\rm l}$  的给药浓度均为 20、40、60、80、100、150、200、300  ${\rm mg \cdot L^{-1}}$ , 每个浓度平行 5 次,调零组和阴性对照组均加相应体积培养液。培养 12 h 后,每孔加 5  ${\rm mg \cdot mL^{-1}}$  MTT 溶液 20  ${\rm \mu L}$  (PBS 配制),培养 4 h 后弃去培养液,每孔加 150  ${\rm \mu L}$  DMSO,置摇床震荡 10  ${\rm min}$ ,完全溶解后用酶标仪测各孔在 570  ${\rm nm}$  处的吸光值(A),计算细胞抑制率。选取抑制率低于 10%的高、中、低三个浓度进行转运实验。

细胞抑制率(%) =  $[(A_{\text{对照组}} - A_{\text{调零组}}) - (A_{\hat{\mathfrak{g}}\hat{\mathfrak{h}}\hat{\mathfrak{g}}} - A_{\text{ਗ零组}})]/(A_{\text{对照组}} - A_{\text{ਗ零组}}) \times 100\%$  (2) 2. 3. 3 跨膜转运模型的建立 将培养至 80% ~ 90% 的 Caco-2 细胞按  $2 \times 10^5 \, \text{ c·mL}^{-1}$ 接种于 12 孔 Transwell 培养板中,培养板顶侧(AP)加 0. 5 mL 细胞悬液,培养板底侧(BL)加 1. 5 mL 培养液,置于培养箱培养 19~21 d,隔天换液。将电阻仪的干燥电极放入 PBS 溶液中平衡 2 h,然后用 75% 酒精消毒10 min,测量 细胞在第 19~21 d 的跨膜电阻 (TEER)。测量时先测空白膜电阻(未接种细胞),再测接种 Caco-2 细胞的 Transwell 培养板膜两侧电阻值,相减即为实际膜电阻( $\Delta\Omega$ ),当 TEER 值大于500 $\Omega$  即可用于转运实验。

TEER =  $\triangle \Omega \times A$ (有效膜面积) (3)2.3.4 药物双向转运实验 根据细胞毒性实验结果 选择高、中、低三个浓度进行 AP→BL 与 BL→AP 侧 双向转运实验,探究药物转运与给药浓度及转运时 间的关系,实验药物均由 HANK'S 溶液配制。实验 前吸弃两侧培养液,取预热37℃的HANK'S溶液, AP 侧 0.5 mL、BL 侧 1.5 mL, 各洗涤两次。然后, 置培养箱孵育 20 min, 测膜两侧跨膜电阻 TEER, 选 择电阻值相近的膜孔进行转运实验。对于 AP→BL 侧的转运: AP 侧加 0.5 mL 药物, BL 侧加 1.5 mL 空白 HANK'S 溶液, BL 侧取样; 对于 BL→AP 侧的 转运: BL 侧加 1.5 mL 药物, AP 侧加 0.5 mL 空白 HANK'S 溶液, AP 侧取样。每个药物浓度平行 3 个 复孔, 分别于 15、30、60、90、120、150、180 min 取样 200 µL, 并补加空白预热的 HANK'S 溶液 200 μL。实验结束时再次测定 TEER 值。将样品过 0. 22 μm 微孔滤膜后, 取 20 μL 进 HPLC 按 2. 1. 3 色 谱条件进行含量测定。计算表观渗透系数 $(P_{app})$ 。

$$P_{\rm app} = (dQ/dt)/(A \times C_0)$$
 (4)

其中, $P_{\rm app}$  (cm·s<sup>-1</sup>)为表观渗透系数,dQ/dt ( $\mu$ g·s<sup>-1</sup>)为药物单位时间转运量, $C_0$  (mg·L<sup>-1</sup>)为药物在供给室的初始浓度,A (cm<sup>2</sup>)为转运膜面积。2.3.5 P-gp 功能对药物吸收的影响 实验选择 P-gp 抑制剂维拉帕米为参比药物,考察三种皂苷的跨膜转运是否受 P-gp 外排作用影响。实验组为 100 mg·L<sup>-1</sup>维拉帕米与皂苷合用给药,对照组为不含维拉帕米的

受试药物,实验方法同 2.2.4 中  $AP \rightarrow BL$  侧的转运实验。检测皂苷在各个时间的透过量,计算  $P_{ann}$ 。

## 3 实验结果

#### 3.1 溶解性实验结果

根据溶解性结果可知(见表 1), 人参皂苷  $Rb_1$ 、  $Rg_1$ 在三种 pH 条件及水中的  $D_0$ 均小于 1, 为高溶解性药物; 三七皂苷  $R_1$ 的  $D_0 > 1$ , 为低溶解性药物。

表 1 3 种达玛烷型皂苷的溶解性判断(n=3)

化合物	$\mathrm{D}_0$				溶解性			
	pH 1. 2	pH 4. 0	水	рН 6.8	pH 1. 2	pH 4. 0	水	рН 6.8
人参皂苷 Rb <sub>1</sub>	0. 049	0. 053	0. 067	0. 045	高	高	高	启
人参皂苷 Rg <sub>1</sub>	0.093	0.093	0.094	0.094	高	高	高	声
三七皂苷 $R_1$	4. 680	3.750	3. 880	3. 840	低	低	低	低

#### 3.2 药物给药浓度筛选结果

实验结果见表 2,细胞抑制率在 10% 以下的人参皂苷  $Rb_1$ 浓度范围为  $20\sim200~mg\cdot L^{-1}$ 、人参皂苷  $Rg_1$ 安全浓度范围为  $20\sim300~mg\cdot L^{-1}$ 、三七皂苷  $R_1$  的安全浓度范围为  $20\sim100~mg\cdot L^{-1}$ 。

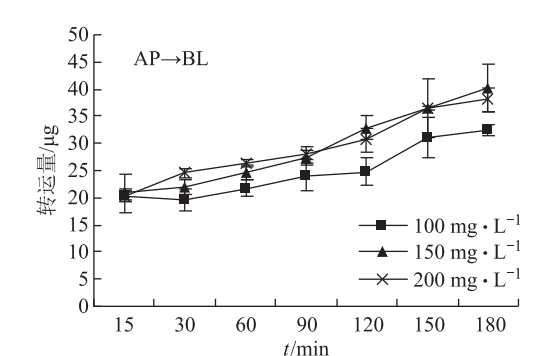
表 2 3 个达玛烷型皂苷的浓度筛选( $\bar{x} \pm s$ , n = 5)

表 2 3 个达均烷型皂苷的浓度筛选( $\bar{x} \pm s, n = 5$ )					
化合物	浓度/mg·L-1	抑制率(%)			
人参皂苷 Rb <sub>1</sub>	100	1. 26 ± 0. 035			
	150	$3.50 \pm 0.028$			
	200	$8.80 \pm 0.23$			
人参皂苷 Rg <sub>l</sub>	100	$3.98 \pm 0.13$			
	200	$4.44 \pm 0.08$			
	300	$7.01 \pm 0.07$			
三七皂苷 $R_1$	40	$4.88 \pm 0.08$			
	80	$4.14 \pm 0.41$			
	100	8. 71 ± 0. 04			

## 3.3 时间和给药浓度对药物转运的影响

图 2 和表 3 表明,人参皂苷  $Rb_1$ 在  $AP \rightarrow BL$  与  $BL \rightarrow AP$  侧的转运量随着时间的增长而增大,且 3 h 内未达到饱和,具有时间依赖性。随着药物浓度的增加,转运量随之增加(P < 0.05),具有浓度依赖性。 $AP \rightarrow BL$  侧转运速率为  $7.59 \times 10^{-6} \sim 12.50 \times 10^{-6} \text{cm} \cdot \text{s}^{-1}$ ,在  $1 \times 10^{-6} \sim 10 \times 10^{-6} \text{cm} \cdot \text{s}^{-1}$  附近,推测其为中等吸收。 $AP \rightarrow BL$  侧与  $BL \rightarrow AP$  侧, $P_{app}$  均小于  $14.96 \times 10^{-6} \text{cm} \cdot \text{s}^{-1}$ ,说明人参皂苷  $Rb_1$ 为低

渗透性药物。高、中、低三浓度的  $P_{\text{app}(BL-AP)/(AP-BL)}$  分别为 0.94、0.86、1.23,均小于 1.5,说明人参皂苷  $Rb_1$ 以被动转运为主 $^{[10]}$ 。



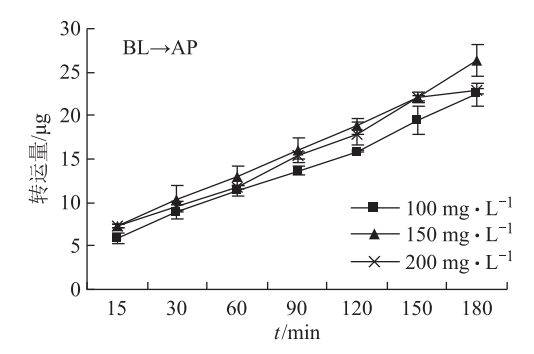
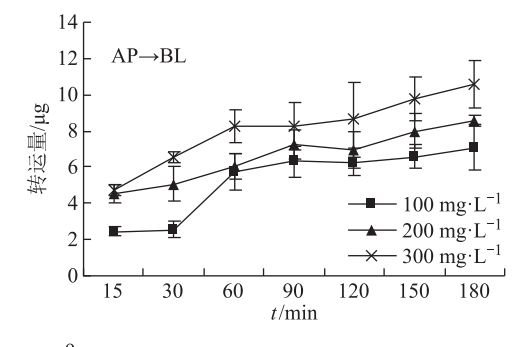


图 2 人参皂苷 Rb<sub>1</sub> AP→BL、BL→AP 方向的转运量 随时间和浓度的变化

图 3 和表 3 表明,人参皂苷  $Rg_1$ 在  $AP \rightarrow BL$  侧与  $BL \rightarrow AP$  侧的转运量随着时间的增长而增大,且 3 h 内未达到饱和,具有时间依赖性。随着药物浓度的增加,同一时间下  $AP \rightarrow BL$  侧转运量随之增加(P < 0.05), $BL \rightarrow AP$  侧无显著变化,说明人参皂苷  $Rg_1$ 

在 AP→BL 侧以被动转运为主。AP→BL 人参皂苷  $Rg_1$ 转运速率为1.  $19 \times 10^{-6} \sim 4.$   $17 \times 10^{-6}$  cm·s<sup>-1</sup>,推 测其为中等吸收。双侧转运的  $P_{\rm app}$  均小于 14. 96 ×  $10^{-6}$  cm·s<sup>-1</sup>,说明人参皂苷  $Rg_1$  为低渗透性药物。高、中、低三浓度的  $P_{\rm app}(BL-AP)/(AP-BL)}$  分别为 1. 12 0. 84 0. 86,均小于 1. 5 说明人参皂苷  $Rg_1$  以被动转运为主。



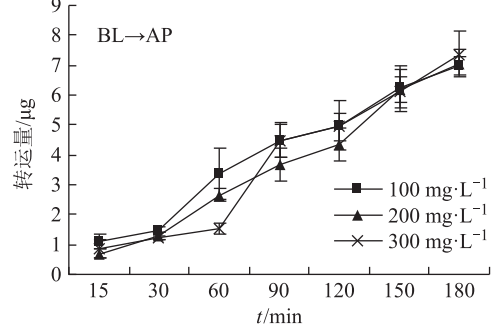


图 3 人参皂苷  $Rg_1$   $AP \rightarrow BL$ 、 $BL \rightarrow AP$  方向转运量 随时间和浓度的变化

图 4 和表 3 表明,三七皂苷  $R_1$ 在  $AP \rightarrow BL$  与  $BL \rightarrow AP$  侧的转运量随着时间的增长而增大,且 3 h 内未达到饱和,具有时间依赖性。随着药物浓度的增加,同一时间下  $AP \rightarrow BL$  与  $BL \rightarrow AP$  侧转运量随之增加(P < 0.05)。 $AP \rightarrow BL$  三七皂苷  $R_1$ 转运速率为 6.98 ×  $10^{-6}$  ~  $10.04 \times 10^{-6}$  cm · s  $^{-1}$  推测其为中等吸收。双侧转运的  $P_{app}$  均小于  $14.96 \times 10^{-6}$  cm · s  $^{-1}$  ,说明三七皂苷  $R_1$  为低渗透性药物。高、中、低三浓度的  $P_{app}$  (BL - AP)/(AP - BL)分别为 0.94、0.88、1.04,均小于 1.5 说明三七皂苷  $R_1$ 以被动转运为主。

## 3.4 维拉帕米对药物转运的影响

实验结果表明,与对照组相比,实验组的人参皂苷  $Rb_1$ 的转运速率无显著变化(P>0.05),说明人参皂苷  $Rb_1$ 的转运不受 P-gp 的调控。加入 P-gp 抑制剂维拉帕米后,实验组的人参皂苷  $Rg_1$ 与三七皂苷  $R_1$ 的转运速率均明显降低(P<0.05),见图 5。说明

维拉帕米对人参皂苷  $Rg_1$ 与三七皂苷  $R_1$ 的转运具有抑制作用。

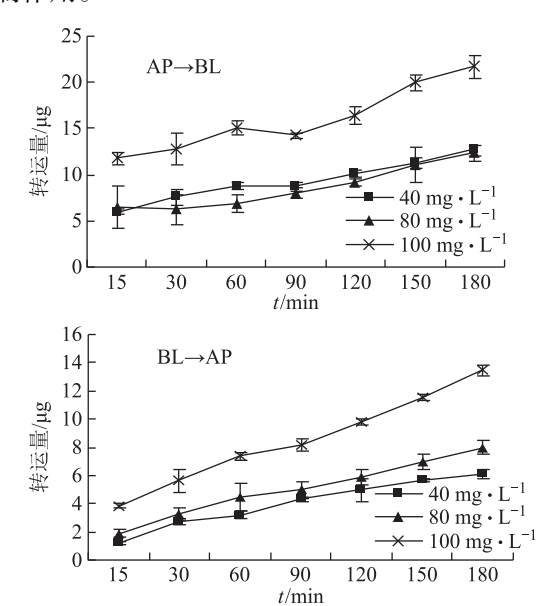
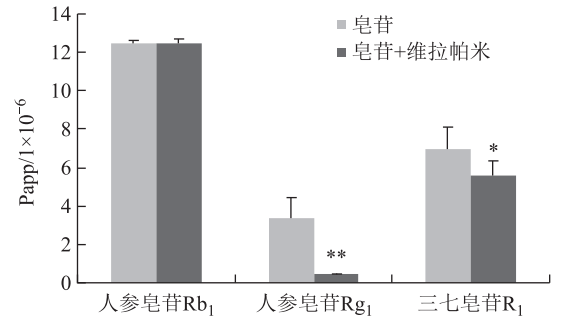


图 4 三七皂苷  $R_1$   $AP \rightarrow BL$ 、 $BL \rightarrow AP$  方向转运量 随时间和浓度的变化

表 3 个达玛烷型皂苷的渗透性测定结果 $(\bar{x} \pm s, n = 3)$ 

化合物			$P_{\rm app~BL\rightarrow AP}/$ $\times 10^{-6}{\rm cm}\cdot{\rm s}^{-1}$	
人参皂苷 Rb <sub>1</sub>	100	11. 61 ± 0. 00	14. 28 ± 0. 04	1. 23
	150	12. $50 \pm 0.11$	10. 71 ± 0. 15	0.86
	200	$7.59 \pm 0.01$	7. $14 \pm 0.05$	0. 94
人参皂苷 Rg <sub>1</sub>	100	4. 17 $\pm$ 0. 30	$3.57 \pm 0.21$	0.86
	200	$3.35 \pm 0.33$	$2.83 \pm 0.52$	0. 84
	300	1. $19 \pm 0.42$	1. $34 \pm 0.00$	1. 12
三七皂苷 $R_1$	40	$10.04 \pm 0.00$	10. 42 ± 1. 30	1.04
	80	$6.98 \pm 0.03$	6. $14 \pm 0.61$	0.88
	100	8. 57 ± 0. 80	$8.40 \pm 0.00$	0. 94



注:人参皂苷  $Rb_1$ 组 P>0.05; 人参皂苷  $Rg_1$ 组 \*\* P<0.01; 三七 皂苷  $R_1$ 组 \* P<0.05。

图 5 维拉帕米对三种皂苷转运的影响(n=3)

# 3.5 StarDrop 模型预测结果与实际结果比较

采用 StarDrop 模型预测的三七皂苷  $R_1$ 溶解性与实际结果一致,另两种药物溶解性预测结果与实际相差较大。三种皂苷预测的结果均为 P-gp 底物,与实验结果不符。实验结果见表 4。

表 4 3 种达玛烷型皂苷在水中真实溶解性与 模型预测溶解性结果

	į	实验结果		3	页测结果	ļ.
化合物	S <sub>実际</sub> (g·L <sup>-1</sup> )	溶解 性 <sub>实际</sub>	P-gp	S <sub>预测</sub> (g·L <sup>-1</sup> )	溶解性预测	P-gp
人参皂苷 Rb <sub>1</sub>	139. 55	易溶解	否	7. 36	微溶	是
人参皂苷 Rg <sub>1</sub>	76. 63	溶解	否	4. 81	微溶	是
三七皂苷 $R_1$	2. 28	溶解	否	6. 15	微溶	是

#### 4 讨论

美国 FDA 指导原则对 BCS 分类中渗透性评价标准为:高渗透性药物是指在没有证据表明药物在胃肠道不稳定情况下,在肠道吸收达到 90%以上的药物,否则即为低渗透性药物 $^{[5]}$ 。Donna A. Volpe 等 $^{[14]}$ 验证了 BCS 评价标准,通过 Caco-2细胞单层模型研究 23 个模型药物的  $P_{\rm app}$ 值,然后与这 23 个模型药物通过人体小肠吸收 fa 值比较,建立了以 Caco-2细胞模型培养 21 天时的药物转运渗透性高低评价标准,临界  $P_{\rm app}$ 值为 14. 96 ×  $10^{-6}$  cm·s $^{-1}$ 。本实验中,三个皂苷的双向转运  $P_{\rm app}$ 值均小于 14. 96 ×  $10^{-6}$  cm·s $^{-1}$ ,说明人参皂苷 Rb<sub>1</sub>和 Rg<sub>1</sub>及三七皂苷 R<sub>1</sub>为低渗透性药物。人参皂苷 Rb<sub>1</sub>和

Rg,为BCS Ⅲ类药物,三七皂苷R,为BCS Ⅳ类药物。

由于  $P_{\text{аррВL} \rightarrow \text{AP}} / P_{\text{арр AP} \rightarrow \text{BL}}$  均小于 1.5,推测三种化合物均以被动转运为主。由  $P_{\text{арр}}$  大小判断三个化合物经小肠吸收速率大小为:人参皂苷  $Rb_1 > \Xi$  七皂苷  $R_1 >$  人参皂苷  $Rg_1$ ,吸收速率随极性增加逐渐增加,说明肠道对被动转运药物的吸收与极性密切相关。影响药物被动扩散的原因有药物溶解性、分子量大小及脂溶性等。当药物极性增加时水溶性升高,脂溶性相对减少,而生物膜为脂质双分子层,因此,药物的极性并非越大越好 [15]。实验结果证明,受试药物并未达到最佳渗透的极性峰值,可为进一步的达玛烷型皂苷的结构修饰提供理论依据。

P-gp 是肠道细胞中存在的一种主要的外排蛋白,能将 AP 侧转运到 BL 侧的药物外排到 AP 侧等运到 BL 侧的药物外排到 AP 侧  $^{[16]}$ 。受 P-gp 调控的药物在加入 P-gp 抑制剂后,P-gp 会有所增加。为考察受试化合物的转运是否受 P-gp 外排作用影响,实验选择维拉帕米为 P-gp 抑制剂。结果表明,随着 P-gp 抑制剂的加入,人参皂苷 R-g1,与三七皂苷 R-1的转运不受 P-gp 的调控,同时维拉帕米抑制了人参皂苷 R-1的转运不受 P-gp 的调控,其转运机理还需进一步研究。人参皂苷 R-1的转运来要无明显变化,说明人参皂苷 R-1的转运不受 P-gp 的调控。

StarDrop 是一款用于在药物发现中起辅助决策、帮助项目组快速确定高质量化合物的软件,用于评估复杂的数据,预测关键的理化性质。这些数据通常由于实验或预测产生的误差而具有一定的不确定性。本实验预测的三七皂苷 R<sub>1</sub>的溶解性结果与实际结果存在一致性,人参皂苷 Rb<sub>1</sub>与 Rg<sub>1</sub> 的溶解性预测结果与实验结果相差较大。并且三个药物均不是P-gp 底物,与模拟结果相反,原因可能是天然产物结构复杂、分子量较大、化合物结构中不同属性相互冲突造成数据的不确定性。软件固有的 ADME QSAR 模型可能更适合化药中的小分子物质。为探究快捷、可靠的预测方法,需进一步研究更多天然产物的溶解性和渗透性,以此丰富自己的数据源,通过 Auto-Modeller 模块构建适合预测大分子化合物的 QSAR 模型。

#### 参考文献

[1] Kong L T, Wang Q, Xiao B X, et al. Different pharmacokinetics of the two structurally similar dammarane sapogenins,

ებატის განის მენის მენის მენის განის განის განის განის მენის განის განის განის განის განის განის განის განის გ მენის განის გა

- protopanaxatriol and protopanaxadiol, in rats [J]. Fitoterapia, 2013, 86(1):48-53.
- [2] 孙德亚. 达玛烷型人参皂苷元结构修饰及其抗肿瘤活性研究[D]. 长春:吉林大学,2014.
- [3] 李娟, 王如锋, 杨莉, 等. 三七皂苷类成分及对心血管作用的研究进展[J]. 中国中药杂志, 2015, 40(17): 3480-3487.
- [4] 刘海宇,张庆贺,刘金平,等. 达玛烷型三萜皂苷结构修 饰研究进展[J]. 中国实验方剂学杂志,2011,17(22): 269-273.
- [5] Center for Drug Evaluation and Research, Food and Drug Administration. Guidance for Industry. "Waiver of In Vivo Bioavailability and Bioequivalence Studies for Immediate Release Solid Oral Dosage Forms Based on a Biopharmaceutics Classification System" [S]. FDA, 2000.
- [6] 国家药典委员会. 中华人民共和国药典: 二部[M]. 北京: 中国医药科技出版社, 2015: X.
- [7] 曾宝,王春玲,吴安国,等. Caco-2 细胞模型的建立及其在中药吸收研究中的应用探讨[J]. 中药新药与临床药理,2010,21(6):570-573.
- [8] 杨秀伟. 人参化学成分的药物代谢动力学研究[J]. 中国现代中药,2016,18(1);16-35.
- [9] 杨秀伟,杨晓达,王莹,等. 中药化学成分肠吸收研究中

- Caco-2 细胞模型和标准操作规程的建立[J]. 中西医结合学报,2007,5(6):634-641.
- [10] Yee S Y. *In vitro* permeability across Caco-2 cells(colonic) can predict *in vivo* (small intestinal) absorption in man-Fact or myth[J]. Pharm Res, 1997, 14(6):763-766.
- [11] 杨秋娅,康雷,顾圣莹,等. 人参皂苷 Rb<sub>1</sub>在大鼠体内的 药动学研究[J]. 中国药学杂志,2014,49(3):221-226.
- [12] 韦凤华,宋林,何毅,等. 人参皂苷 Rg<sub>1</sub>在大鼠体内的 代谢与排泄研究[J]. 华西药学杂志,2010,25(3): 302-305.
- [13] 李丽明,刘若轩,郭洁文,等. 三七皂苷  $R_1$ 在急性心肌缺血大鼠体内的药动学研究 [J]. 中药材,2015,38(9): 1908-1911.
- [14] Volpe D A, Faustino P J, Ciavarella A B, et al. Classification of drug permeability with a Caco-2 cell monolayer assay[J]. Clin Res Regul Aff, 2007, 24(1):39-47.
- [15] Wils P, Warnery A, Phung-Ba V, et al. High lipophilicity decreases drug transport across intestinal epithelial cells[J]. J Pharmacol Exp Ther, 1994, 269(2):654-658.
- [16] Patel J, Buddha B, Dey S, et al. In vitro interaction of the HIV protease inhibitor ritonavir with herbal constituents: changes in P-gp and CYP3 A4 activity [J]. Am J Ther, 2004,11(4):262-277.

(收稿日期 2018-03-22)

#### (上接第1149页)

- [10] 武小赟,李铁钢,阳勇,等. HPLC 法测定黄连中主要生物 碱的方法学研究. 上海中医药杂志, 2010, 44(6): 112-115.
- [11] 廉莲,万国盛,贾伟利,等. HPLC 同时测定黄柏中6 种化学成分含量[J]. 中国实验方剂学杂志,2013,19(2):94-97.
- [12] 肖平,李三新. 反相高效液相色谱法测定五味黄连丸中盐酸小檗碱的含量[J]. 中南药学,2009,7(11):879-880.
- [13] 熊玲,覃瑶,罗维早,等. 正交试验设计筛选黄连总生物 碱的提取纯化工艺研究[J]. 中国现代中药,2017,19 (5):706-710.
- [14] 肖培根,肖伟,许利嘉,等. 黄连及含小檗碱类生物碱的中草药[J]. 中国现代中药,2016,18(11):1381-1385.
- [15] 赵文龙,周昌妮,王佳乐,等. 星点设计-效应面法优选 黄连的提取工艺[J]. 中国现代中药,2014,16(4):312-315.

(收稿日期 2018-03-29)